

## PAPER DETAILS

TITLE: Enerji Depolama Cihazları için ?-MnO<sub>2</sub> Bilesiginin Yüksek Basınç Altında Yapısal ve Elektronik Özellikleri

AUTHORS: Çağatay YAMÇIÇIER

PAGES: 155-167

ORIGINAL PDF URL: <https://dergipark.org.tr/tr/download/article-file/1988249>

# Enerji Depolama Cihazları için $\beta$ -MnO<sub>2</sub> Bileşığının Yüksek Basınç Altında Yapısal ve Elektronik Özellikleri

Çağatay YAMÇIÇIER<sup>1\*</sup>

## Öz

Bu çalışmada, MnO<sub>2</sub> bileşığının yapısal ve elektronik özellikleri hidrostatik basınç altında yoğunluk fonksiyonel teorisi (DFT) çerçevesinde genelleştirilmiş gradyant metodu (GGA) kullanılarak 120 GPa'ya kadar gerçekleştirildi. Çalışmada MnO<sub>2</sub> bileşiği kademeli olarak artan basıncın etkisiyle uzay grubu P4<sub>2</sub>/mnM olan tetragonal yapıdan uzay grubu PnnM olan ortorombik yapıya dönüşmüştür. Çalışmanın deneysel sonuçlarla uyumunu gözlemlemek için entalpi ve toplam enerji hesaplamaları gerçekleştirildi. Ayrıca çalışmada MnO<sub>2</sub> bileşığının elektronik özellikleri araştırıldı. Yapılan hesaplamalar sonucunda MnO<sub>2</sub> bileşliğinde yaklaşık olarak 9.8 GPa'da bir faz geçisi meydana geldiği ve tetragonal yapıdan ortorombik yapıya geçildiği sonucuna varıldı.

**Anahtar Kelimeler:** Yapısal faz geçisi, Yoğunluk fonksiyonel teori, Ab-initio, Ara durum, Enerji depolama.

## Structural and Electronic Properties of $\beta$ -MnO<sub>2</sub> Compound Under High Pressure for Energy Storage Devices

### Abstract

In this study, the structural and electronic properties of the MnO<sub>2</sub> compound were determined up to 120 GPa under hydrostatic pressure using the generalized gradient method (GGA) within the framework of density functional theory (DFT). In the study, the MnO<sub>2</sub> compound transformed from the tetragonal structure with the space group P4<sub>2</sub>/mnM to the orthorhombic structure with the space group PnnM with the effect of gradually increasing pressure. Enthalpy and total energy calculations were performed to observe the agreement of the study with the experimental results. In addition, the electronic properties of the MnO<sub>2</sub> compound were investigated in the study. As a result of the calculations, it was concluded that a phase transition occurred at approximately 9.8 GPa in the MnO<sub>2</sub> compound and the transition from the tetragonal structure to the orthorhombic structure was concluded.

**Keywords:** Structural phase transition, Density functional theory, Ab-initio, Intermediate state, Energy storage.

<sup>1</sup>Osmaniye Korkut Ata Üniversitesi, Kadirli Meslek Yüksekokulu, Elektrik ve Enerji Bölümü, Osmaniye, Türkiye,  
cagatayyamcicer@osmaniye.edu.tr

<sup>1</sup><https://orcid.org/0000-0003-3033-168X>

## 1. Giriş

Mangan dioksit bileşigine özgün fiziksel ve kimyasal özelliklere sahip olmasından dolayı katalizör iyonlarında, moleküler eleklerde, pillerdeki sensör elektrot malzemelerinde, süper kapasitörlerin potansiyel uygulamalarında, (Arnott ve ark., 2007; Chabre ve Pannetier, 1995; de, 1959; Ruetschi, 1984; Tull, 1996; Turner ve Buseck, 1983), diğer geçiş metalleri ile kıyaslandığında, düşük fiyatı, düşük toksisitesi, çevresel etkisi ve doğadaki bollugundan dolayı büyük ilgi duyulmakta olan (Kozawa ve Yeager, 1965) ve enerji depolama cihazlarının çeşitli uygulamalarında kullanılan önemli bir malzemedir (Walanda ve ark., 2005).

Tüm yapısal polimorfların ortak yapı taşı bir  $\text{MnO}_6$  oktahedrondur:  $3d^3$  elektronik konfigürasyonunda bir  $\text{Mn}^{4+}$  iyonu,  $\text{O}^{2-}$  iyonlarından oluşan bir oktahedronla çevrilidir. Bu oktahedronların farklı uzamsal düzenlemeleri, farklı polimorflara yol açar. Literatürde yaygın olarak bildirilen altı polimorfstan  $\alpha\text{-MnO}_2$  ve  $\beta\text{-MnO}_2$ , hollandite (uzay grubu  $I_4/m$ ) ve pirolusit ( $P4_2/mnm$ ) yapılarına sahip olup tetragonal birim hücrelere sahiptir.  $\lambda\text{-MnO}_2$ , kübik yapıya sahip olan bir spinel bileşigidir ( $Fd\bar{3}m$ ).  $\delta\text{-MnO}_2$  altigen bir yapıya sahiptir ( $P6_3/mmc$ ), ancak en ilginç olanı katmanlı bir malzemedir.  $\gamma\text{-MnO}_2$  ( $C2/m$ ) ve  $R\text{-MnO}_2$  ( $Pnma$ ) olarak adlandırılan iki polimorf daha bilinmektedir (Alam ve ark., 2019). Rutil tipte bir tetragonal yapısı olan  $\beta\text{-MnO}_2$ , tek bir kenar paylaşımı  $\text{MnO}_6$  oktahedra zinciri tarafından oluşturulan termodinamik olarak en kararlı yapılardan biridir (Alam ve ark., 2019).

Clendenen ve Drickamer (1966) tarafından  $\text{MnO}_2$  üzerine yapılan X-ışını kırınım çalışmasında, 15 GPa'da olası bir birinci dereceden geçişin görüldüğü belirtilmiştir (Clendenen ve Drickamer, 1966). Liu (1966) ortam koşulları altında yüksüz bir numuneden alınan kırınım verilerine dayanarak 22 GPa ve 1000- °C'nin üzerinde bilinmeyen bir yapıya sahip bir kübik faza geçiş bildirmiştir (Liu, 1976). Haines ve ark., (1995) deneysel olarak gerçekleştirdikleri çalışmada  $\text{MnO}_2$ 'nin yüksek basınçlı yapısını ve hal denklemini belirlemek için, bu bileşiği 46 GPa'ya kadar X-ışını toz kırınımı ile incelemiş ve 7.3 GPa'da faz geçisi raporlamışlardır (Haines ve ark., 1995).

Bolzan ve ark., (1997); Haines ve ark., (2001); Kingma ve ark., (1995) tarafından yapılan çalışmalarda rutil tipi yapıdaki dioksitlerin ( $\text{SiO}_2$ ,  $\text{GeO}_2$  ve  $\text{SnO}_2$  gibi) yüksek basınçın etkisiyle uzay grubu  $Pnnm$  olan ortorombik yapıya dönüşümü gözlenmiştir (Bolzan ve ark., 1997; Haines ve ark., 2001; Kingma ve ark., 1995). Ayrıca son yıllarda  $\text{MgH}_2$  (Kürkçü ve Merdan, 2018b),  $\text{ZnF}_2$  (Perakis ve ark., 2005),  $\text{CoF}_2$  (Kürkçü ve ark., 2016a),  $\text{NiF}_2$  (Kürkçü ve ark., 2016b) gibi rutil tipi yapıdaki florürlerin de basınçın etkisiyle ilk olarak ortorombik yapıya faz dönüşümü meydana getirdiği gözlemlenmiştir. Yapılan araştırmalar  $\beta\text{-MnO}_2$  bileşığının yüksek basınç altındaki davranışlarını anlamak için daha fazla deneysel ve teorik çalışmaya ihtiyaç duyulduğu görülmektedir.

Bu çalışmanın amacı  $\beta\text{-MnO}_2$  bileşığının yüksek basınç altında oluşan faz geçiş mekanizmasının ve elektronik özelliğinin incelenmesidir. Ayrıca faz geçiş esnasında herhangi bir ara durumun olup olmadığını araştırılmasıdır.

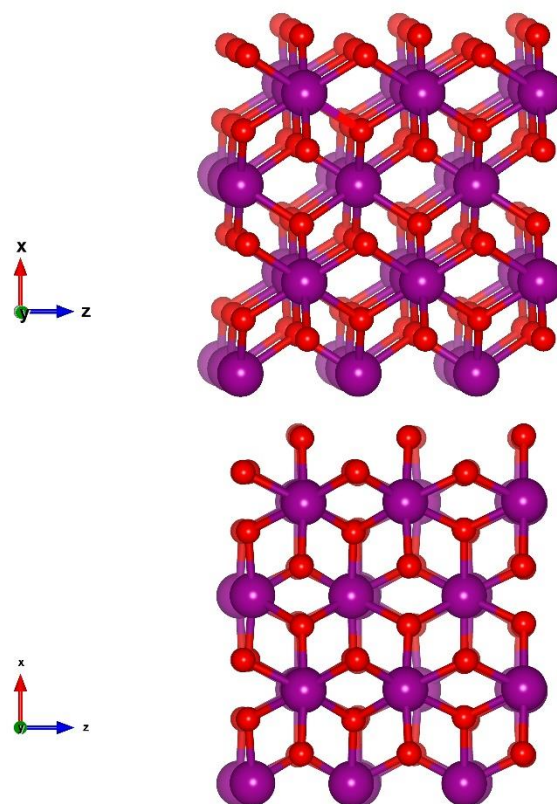
## 2. Materyal ve Metot

Çalışmada rutil tipi yapıdaki  $\beta\text{-MnO}_2$  bileşigi için yoğunluk fonksiyonel teori çerçevesinde genelleştirilmiş gradyant metodu (Perdew ve ark., 1996) kullanılarak hem yapısal hem de elektronik özellikler incelendi. Hesaplamalarda ab-initio paket programı SIESTA (Soler ve ark., 2002) kullanıldı. Yaklaşım olarak GGA ve Perdew – Burke – Ernzerhof değişim tokus korelasyon parametreleri ve gerçek uzay ızgaraları hesaplamalarda double  $\zeta$  polarize (DZP) orbitalleri kullanıldı. Hesaplamalar için Troullier – Martins'in (Troullier ve Martins, 1991) yaklaşımı kullanılarak üretilen norm koruyucu pseudopotansiyel yaklaşımı kullanıldı. 0 GPa'da yapılan optimizasyon sonucunda kesme enerjisi 200 Ryd olarak belirlendi. Başlangıçta periyodik bağ koşulları gözetilerek birim hücreye  $2 \times 3 \times 3$  süperceld uygulandı ve yapı 108 atomdan oluşturuldu. Basınç, eşlenik grandyant (conjugate gradyant: CG) tekniği kullanılarak kademeli olarak 10 GPa'lık adımlarla 120 GPa'a kadar artırıldı. Brillouin bölgesi entegrasyonu için Monkhorst- Pack (MP) mesh (Monkhorst ve Pack, 1976) olarak rutil tipi yapısı için  $6 \times 6 \times 9$ , ortorombik yapısı için  $6 \times 5 \times 9$  seçildi ve kullanıldı. Her bir minimizasyon adımının analizini gerçekleştirmede KPLT (Hundt ve ark., 1999) yazılımı ve RGS (Hannemann ve ark., 1998) algoritması kullanıldı. Bunlar, simetri analizi ve dönüşümü, uzay grubu belirleme, atom pozisyonları, koordinatları ve kristal hacmi gibi birçok özelliği sağlar. Ayrıca faz dönüşü sonucunda oluşan kristal yapıların görselleştirilmesi için Vesta (Momma ve Izumi, 2011) programı kullanıldı.

## 3. Bulgular ve Tartışma

### 3.1. Yapısal Özellikler

KPLT programı ile uygulan her bir basınç değeri analiz edildi ve 30 GPa'ya kadar rutil tipi yapının korunduğu gözlemlendi. 30 GPa'da gerçekleştirilen analiz neticesinde rutil tipi yapının uzay grubu Pnnm olan ortorombik yapıya dönüşümü gözlemlendi. Elde edilen bu yapılar Şekil 1'de gösterildi ve bulk modülü ( $B_0$ ), bulk modülün türevi ( $B_0'$ ), geçiş basıncı değeri ( $P_t$ ) ve hacim değeri ( $V$ ) hesaplandı. Hesaplanan değerler Tablo 1'de literatürde bulunan diğer çalışmalar ile birlikte verildi.



**Şekil 1.**  $\text{MnO}_2$ 'nin kristal yapıları: Sıfır basınçta  $\text{P}42/\text{mnm}$  fazı (üst) ve 30 GPa'da  $\text{Pnnm}$  fazı (alt).

Sabit basınç çalışmalarında elde edilen geçiş basınç değeri deneylerde elde edilen basınç değerlerinden yüksek çıkmaktadır. Bunun nedeni sistemin, bir fazdan başka bir faza geçiş sağlarken yüksek bir enerji bariyeriyle karşılaşmasıdır. Faz geçışı meydana gelirken simüle edilen sistem bu yüksek enerji bariyerini geçmek isteyecektir. Bu sebepten dolayı sistem fazlaca basınç maruz kalacaktır (Kürkçü ve Merdan, 2018a, 2018b; Kürkçü ve ark., 2019; Yamacicier ve ark., 2018). Diğer aşamada  $\text{MnO}_2$ 'nin yüksek basınç fazının kararlığını hesaplamak için enerji-hacim değerlerini kullanıldı. Enerji – hacim değerlerini hesaplamak için sabit basınç altında sistemin hacmini belli bir değere kadar artırarak enerjisindeki değişimi gözlemlendi. Hesap edilen toplam enerji-hacim ilişkileri denklem (1)'de verilen 3. dereceden Birch - Murnaghan (Birch, 1947; Truesdell, 1952) durum denklemine fit edildi ve Şekil 2'de gösterildi.

$$P(V) = \frac{3B_0}{2} \left[ \left(\frac{V_0}{V}\right)^{\frac{7}{3}} - \left(\frac{V_0}{V}\right)^{\frac{5}{3}} \right] \left\{ \left[ 1 + \frac{3}{4} (B'_0 - 4) \left(\frac{V_0}{V}\right)^{\frac{2}{3}} - 1 \right] \right\} \quad (1)$$

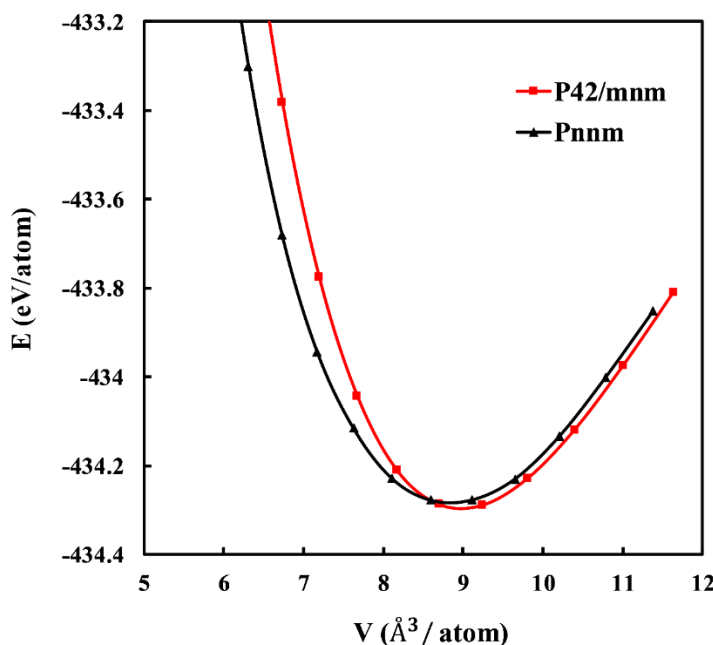
Burada  $P$  uygulanan basınç,  $V$  hacim,  $V_0$  ilk hacim,  $B_0$  bulk modülü ve  $B'_0$  bulk modülünün basınçca göre türevi dir.

**Table 1.**  $\text{MnO}_2$  bileşiginin  $P4_2/\text{mnm}$  ve  $\text{Pnnm}$  yapıları için hesaplanan geçiş basıncı değerleri, örgü uzunlukları, hacim, bulk modülü ve türevi.

| Fazlar            | P(GPa) | a (Å)  | b (Å)  | c (Å)  | V (Å <sup>3</sup> ) | B <sub>0</sub> (GPa) | B' <sub>0</sub> | Referanslar |
|-------------------|--------|--------|--------|--------|---------------------|----------------------|-----------------|-------------|
| $P4_2/\text{mnm}$ | 0      | 4.4542 | 4.4542 | 2.7930 | 55.41               | 305.53               | 4.10            | Bu çalışma  |
|                   |        | 4.3990 | 4.3990 | 2.8750 | 55.66               |                      |                 | *           |
|                   |        | 4.4008 | 4.4008 | 2.8745 |                     |                      |                 | **          |
| $\text{Pnnm}$     | 9.8    | 3.9233 | 4.4422 | 2.5619 | 48.61               | 263.29               | 4.18            | Bu çalışma  |
|                   | 7.3    | 4.4370 | 4.3120 | 2.8620 |                     | 328                  | 4               | **          |

\*(Gangwar ve Rath, 2021)

\*\*(Haines ve ark., 1995)



**Şekil 2.**  $\text{MnO}_2$ 'nin  $P4_2/\text{mnm}$  ve  $\text{Pnnm}$  yapılarının enerji hacim grafiği.

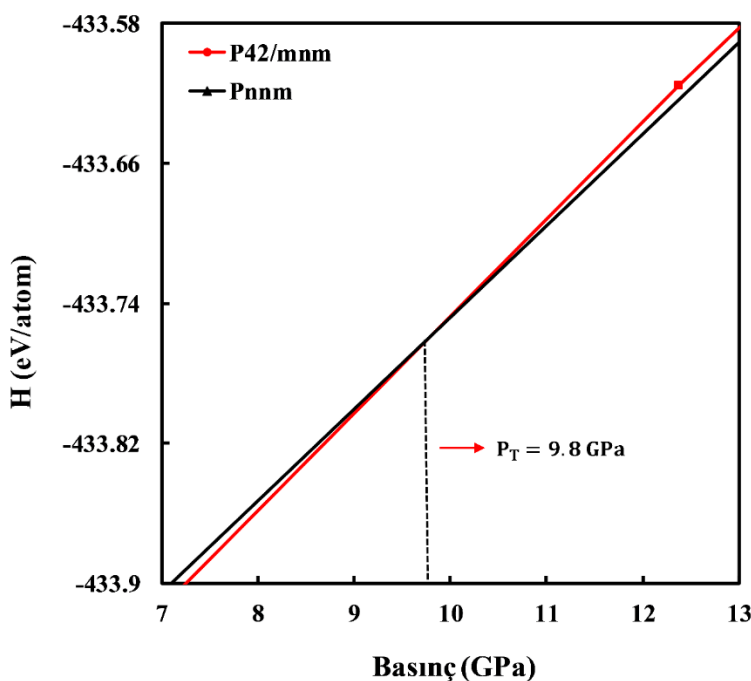
Termodinamik olarak kararlı olan fazın hangisi olduğuna karar verebilmek için verilen basınç ve sıcaklık değerlerini hesaplanmasında Denklem (2)'de verilen Gibbs serbest enerjisi denklemi kullanıldı.

$$G(T,p) = E_{tot} - TS + pV \quad (2)$$

Denklem (2)'de,  $E_{tot}$  toplam enerji,  $S$  entropi,  $T$  sıcaklık,  $p$  basınç ve  $V$  kristalin hacmini belirtir. Yaptığımız çalışmalar 0 K sıcaklıkta gerçekleştirildi. Bu durumda  $TS$  terimi ihmal olacağından Gibbs serbest enerjisi denklem (3)'deki entalpiye eşit olacaktır.

$$H = E_{tot} + pV \quad (3)$$

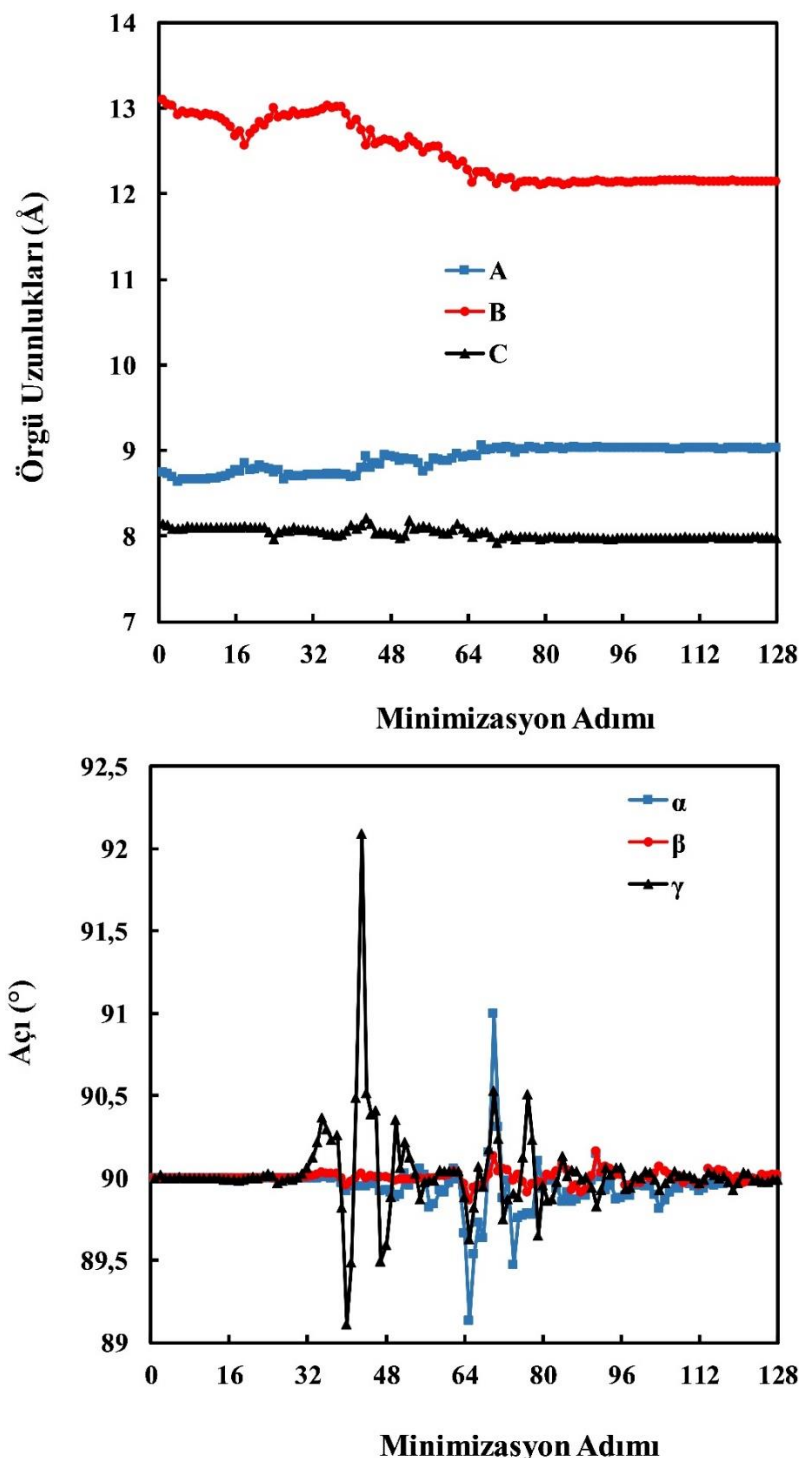
Entalpi değerinin hesaplanması ile deneyel sonuçlarla uyumlu olan geçiş basıncı değeri elde edilir. İki entalpi değerinin kesişimi, iki yapı arasındaki geçiş basıncının değerini gösterir.  $\text{MnO}_2$ 'nin elde edilen yapıları için Şekil 3'teki entalpi eğrileri çizdirildi.



Şekil 3.  $\text{MnO}_2$ 'nin kararlı fazları için entalpi grafiği.

Şekil 3'den görüldüğü üzere  $\text{P}4_2/\text{mnmm}$  yapısından  $\text{Pnnm}$  yapısına geçiş basıncı yaklaşık olarak 9.8 GPa olarak elde edildi.

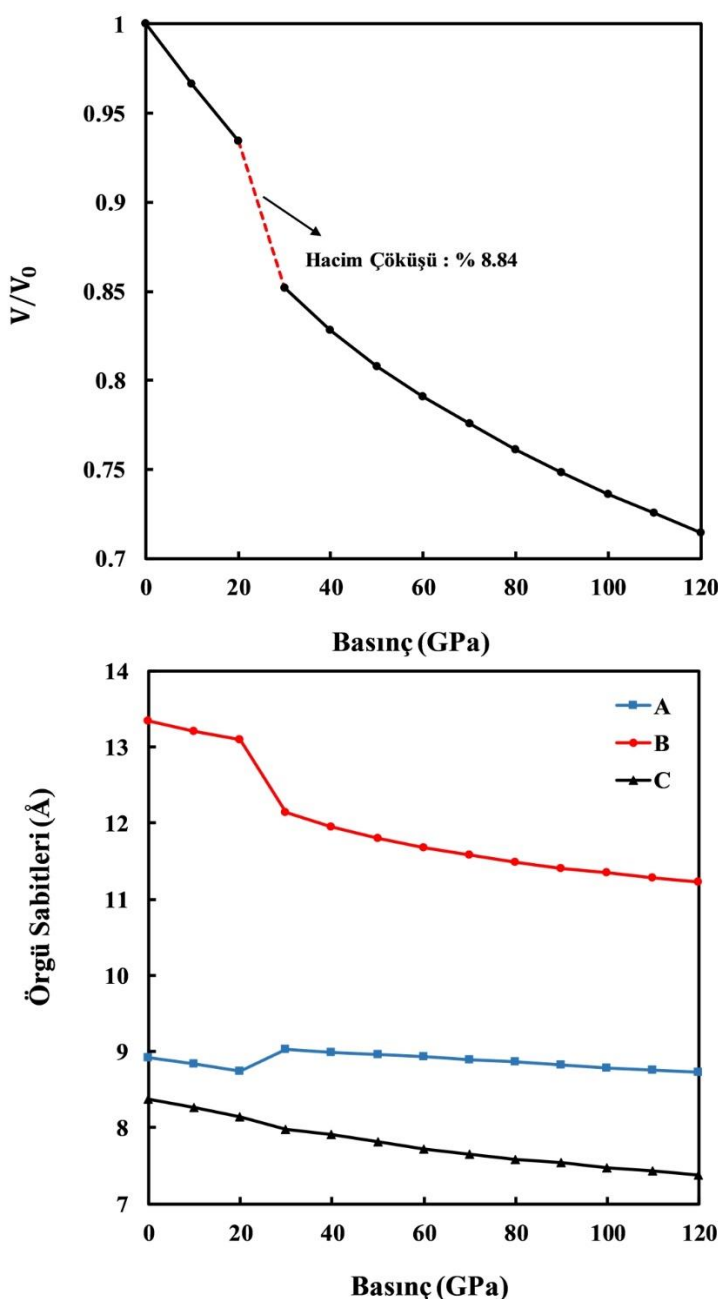
Faz geçişinin doğasını açıklamak için süper hücre uygulanmış sistemin örgü öteleme vektörlerinin uzunlukları ve bu vektörler arasındaki açıların minimizasyon adımlarına göre nasıl değiştiği araştırıldı. Vektörler sırasıyla [100], [010] ve [001] yönleri boyunca  $\vec{A}$ ,  $\vec{B}$  ve  $\vec{C}$  olarak gösterildi. Burada,  $\alpha$  açısı  $\vec{B}$  ve  $\vec{C}$  vektörleri arasındaki açıyı,  $\beta$  açısı  $\vec{A}$  ve  $\vec{C}$  vektörleri arasındaki açıyı ve  $\gamma$  açısı  $\vec{A}$  ve  $\vec{B}$  vektörleri arasındaki açıyı temsil eder. 30 GPa'da örgü vektörü uzunlıklarının ve açılarının minimizasyon adımlarına karşılık nasıl değiştiği Şekil 4'de gösterildi. Tablo 1'de görüldüğü üzere araştırmadan elde edilen sonuçlar, literatürde bulunan Gangwar ve Rath (2021) ve Haines ve ark., (1995) çalışmaları ile uyum içindedir.



**Şekil 4.**  $\text{MnO}_2$ 'nin 30 GPa'da örgü uzunlukları ve açılarının minimizasyon adımlına göre değişimi

Şekil 4'den görüldüğü gibi 30. adıma kadar açılarda bir değişim olmamışken 30. adımdan sonra yaklaşık 80. adıma kadar  $\alpha$  açısında dikkate değer bir değişim olmuştur. 80. adımdan sonra ise herhangi bir değişim gözlemlenmemiştir. A, B ve C örgü uzunluklarında ise yaklaşık 70. adıma kadar değişimler söz konusu iken, 70. adımdan sonra değişim gözlemlenmemiştir. Açı ve örgü uzunluklarındaki bu değişimler bir faz dönüşümünün gerçekleştiğinin kanıtı niteliğindedir.

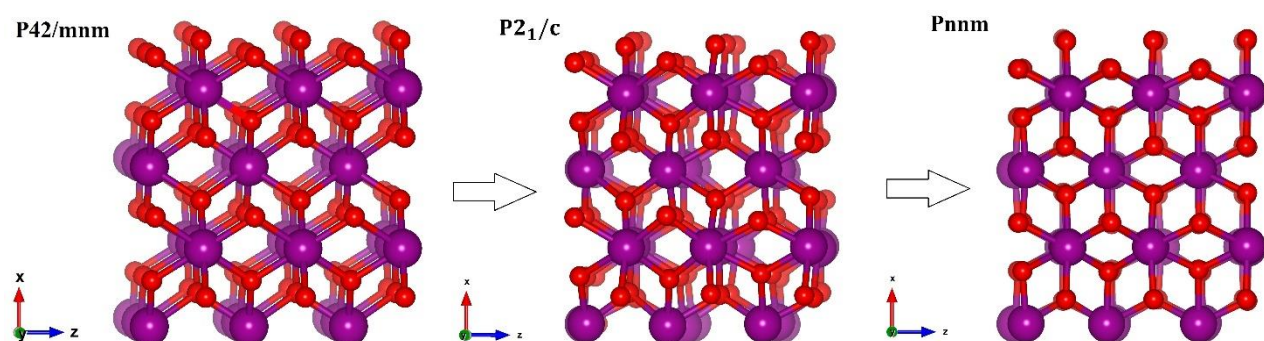
$\text{MnO}_2$ 'nin faz dönüşüm mekanizmasını belirlemek için Şekil 5'de basınç - hacim ve basınç bağlı olarak örgü uzunluklarının değişimi gösterilmiştir. 20 GPa'dan 30 GPa'ya geçerken, rutil tipi yapıdan ortorombik tipi yapıya birinci derecen bir faz geçisi gerçekleşmiştir. Bu faz geçisi esnasında yapının hacmi %8.84 azalmıştır. Daha sonra basınç artırılmaya devam edilmiş fakat 120 GPa'a kadar başka bir faz değişimine rastlanmamıştır. Yapılan literatür taraması sonucunda  $\beta\text{-MnO}_2$  bileşığının başka bir fazına rastlanamamıştır. Çalışmanın literatürde bulunan çalışmalarla uyum içinde olduğu gözlemlenmiştir.



**Şekil 5.**  $\text{MnO}_2$ 'nin 30 GPa'da basınçın etkisiyle hacmin değişim eğrisi ve örgü sabitlerinin değişimi

Şekil 5'den anlaşıldığı üzere örgü sabitleri ve hacim, basınç 20 GPa'dan 30 GPa'ya çıkarıldığında değişime uğramıştır. Bu değişimin sebebi 30 GPa'da bileşiğin  $P4_2/mnm$  fazının  $Pnnm$  fazına geçişinden dolayıdır.

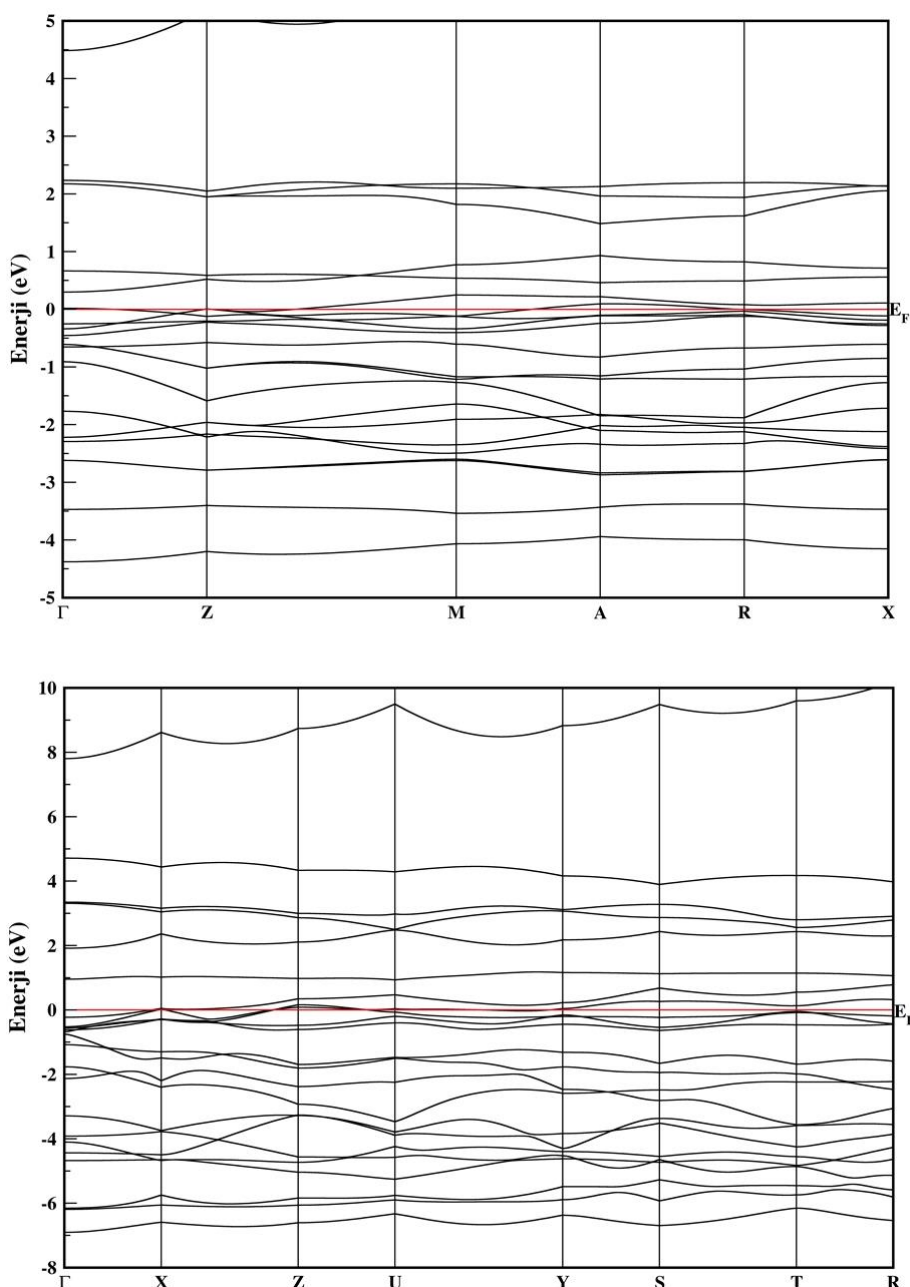
$MnO_2$  bileşliğini 20 GPa'dan 30 GPa'ya çıkardığımızda  $P4_2/mnm$  fazından  $Pnnm$  fazına geçisi esnasında 128 minimizasyon adımı gerçekleşti. Bu faz geçisi esnasında bir ara durum olup olmadığı bulmak için oluşan minimizasyon adımları KPLOT programıyla analiz edildi ve bulunan ara durumların Vesta programından elde edilen görüntüleri Şekil 6'da gösterildi. Yapılan inceleme sonunca 46. adımda bileşiğin uzay grubu  $P2_1/c$  olan monoklinik yapıya daha sonra 96. adımda  $Pnnm$  yapısına dönüşümü gözlemlenmiştir. Elde edilen bu ara durumun örgü sabitleri  $a = 6.8068$ ,  $b = 4.5747$ ,  $c = 4.9914 \text{ \AA}$  olarak elde edilmiştir. Bulunan bu ara durum literatürde daha önce herhangi bir çalışmada raporlanmamıştır. Şekil 6'da ortorombik yapının oluşumu görülmektedir.



Şekil 6.  $MnO_2$ 'nin 30 GPa'da ortorombik yapının oluşumu

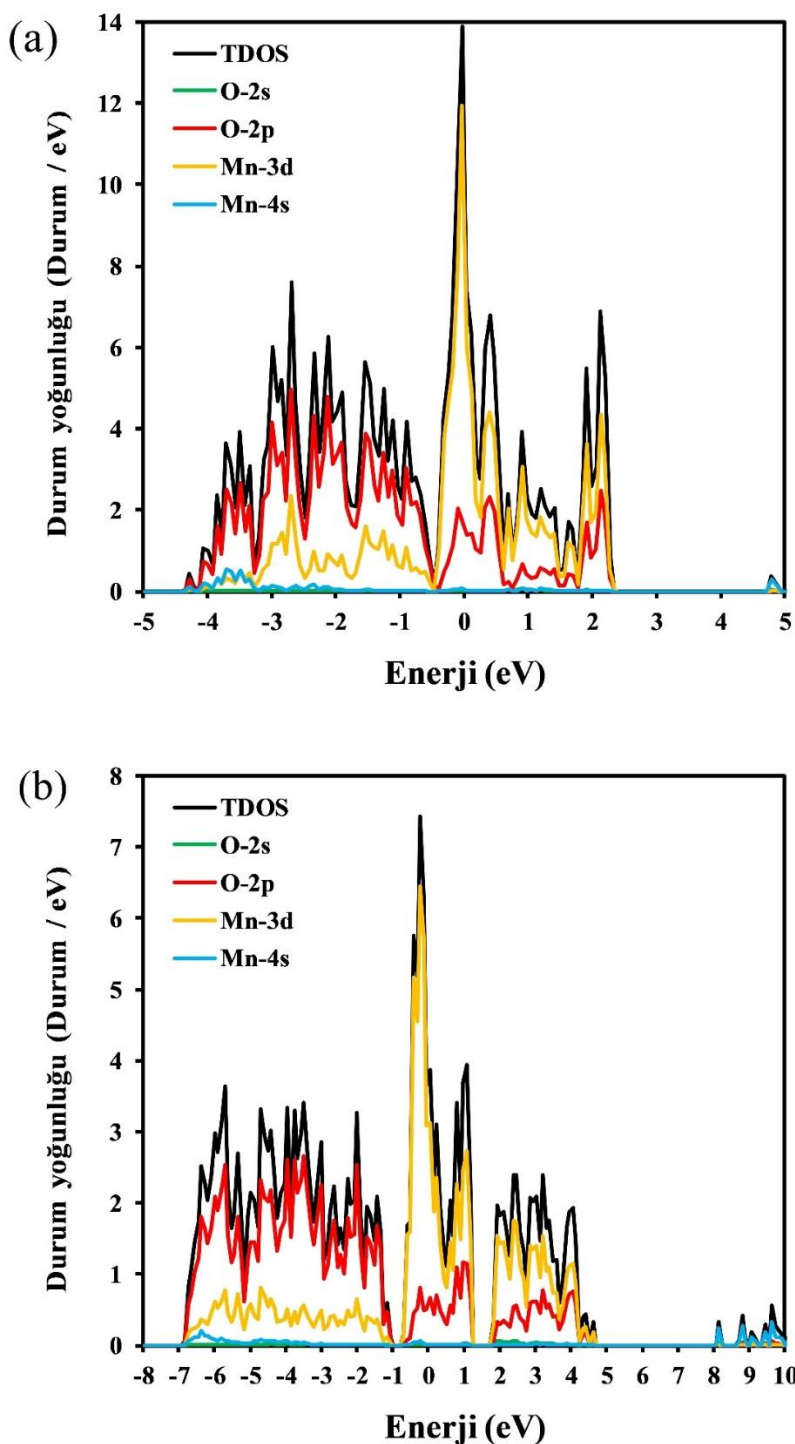
### 3.2. Elektronik Özellikler

$MnO_2$ 'nin  $P4_2/mnm$  yapısı ve  $Pnnm$  yapısı için band yapısı grafikleri Şekil 7'de yüksek simetri noktaları boyunca enerjinin bir fonksiyonu olarak gösterildi. Fermi enerji seviyesi 0 eV olarak ayarlandı. Simetri noktaları  $P4_2/mnm$  fazı için  $\Gamma - Z - M - A - R - X$  ve  $Pnnm$  fazı için  $\Gamma - X - Z - U - Y - S - T - R$  olarak seçildi. Elektronik bant yapısından görüldüğü üzere her iki yapı içinde valans bandı iletim bandını kesmektedir. Bu durum, her iki yapının da metalik özellikte olduğunu göstermektedir.



**Şekil 7.**  $\text{MnO}_2$ 'nin  $\text{P}4_2/\text{mnmm}$  (üst) ve  $\text{Pnnm}$  (alt) yapısın elektronik band yapısı

$\text{MnO}_2$ 'nin elektronik yapısı hakkında daha fazla bilgi elde etmek, için kısmi durum yoğunluğu (PDOS) hesaplandı. Şekil 8'de görüldüğü gibi  $\text{MnO}_2$ 'in elde edilen her iki kararlı fazı içinde en büyük katkının, (-1) - (-7) aralığında O - 2p ve (-1) - (+7) aralığında Mn - 3d den geldiği görülmüştür. Bradlyn ve ark., (2017) yaptıkları çalışma sonucunda  $\text{MnO}_2$  bileşiginin hem  $\text{P}4_2/\text{mnmm}$  yapısının hem de  $\text{Pnnm}$  yapısının metalik karaktere sahip olduğunu göstermişlerdir (Bradlyn ve ark., 2017). Çalışmada  $\text{MnO}_2$  bileşiginin yapılarının metalik karakterde olduğu sonucuna varılmış ve literatür ile uyumlu olduğu gözlemlenmiştir.



**Şekil 8.**  $\text{MnO}_2$ 'nin bileşiğinin (a)  $\text{P}4_2/\text{mnmm}$  ve (b)  $\text{Pnnm}$  yapısın toplam ve kısmi durum yoğunluğu eğrisi.

#### 4. Sonuçlar ve Öneriler

$\text{MnO}_2$  bileşiği kademeli olarak artan basıncın etkisiyle 120 GPa'a kadar incelandı. Artan basıncın etkisiyle  $\text{MnO}_2$  bileşiğinin  $\text{P}4_2/\text{mnmm}$  yapısından  $\text{Pnnm}$  yapısına faz geçisi elde edildi. Yapılan analizler sonucunda  $\text{P}4_2/\text{mnmm} \rightarrow \text{Pnnm}$  faz geçisi esnasında uzay grubu  $P2_1/c$  olan

monoklinik bir ara durum elde edildi. Elde edilen bu ara durum araştırılan literatür taraması sonucunda ilk olarak bu çalışmada gözlemlenmiştir. Ayrıca, MnO<sub>2</sub>'nin band yapısı ve durum yoğunluğu araştırıldı ve hem P4<sub>2</sub>/mnm hem de Pnnm fazları için bant aralığı bulunmadığından metalik özellikte olduğu elde edildi. Ayrıca, çalışmadan elde edilen sonuçlar, deneyel verilerde gözlemlenen çelişkili sonuçların açıklanması, malzemeyi istenilen faz dönüşümüne ugratacak yeni deneyel yöntemlerin geliştirilmesi ve malzemelerin yüksek basınçtaki kimyası ve fiziğinin açıklanması bakımından son derece önemlidir.

### Araştırma ve Yayın Etiği Beyanı

Yapılan çalışmada araştırma ve yayın etiğine uyulmuştur.

### Kaynaklar

- Al, S., Kürkçü, C., & Yamicier, C. (2020a). High pressure phase transitions and physical properties of Li<sub>2</sub>MgH<sub>4</sub>; implications for hydrogen storage. *International Journal of Hydrogen Energy*, 45(7), 4720-4730.
- Al, S., Kürkçü, C., & Yamicier, C. (2020b). Structural evolution, mechanical, electronic and vibrational properties of high capacity hydrogen storage TiH<sub>4</sub>. *International Journal of Hydrogen Energy*, 45(55), 30783-30791.
- Alam, K., Seriani, N., & Sen, P. (2019).  $\alpha$ -MnO<sub>2</sub> under pressure: Possible route to  $\delta$ -MnO<sub>2</sub>. *Materials Research Express*, 6(7). <https://doi.org/10.1088/2053-1591/ab145c>
- Arnott, J., Williams, R., Pandolfo, A., & Donne, S. (2007). Microporosity of heat-treated manganese dioxide. *Journal of Power Sources*, 165(2), 581-590.
- Birch, F. (1947). Finite elastic strain of cubic crystals. *Physical review*, 71(11), 809.
- Bolzan, A. A., Fong, C., Kennedy, B. J., & Howard, C. J. (1997). Structural studies of rutile-type metal dioxides. *Acta Crystallographica Section B: Structural Science*, 53(3), 373-380.
- Bradlyn, B., Elcoro, L., Cano, J., Vergniory, M. G., Wang, Z., Felser, C., Aroyo, M. I., & Bernevig, B. A. (2017). Topological quantum chemistry. *Nature*, 547(7663), 298-305. <https://doi.org/10.1038/nature23268>
- Chabre, Y., & Pannetier, J. (1995). Structural and electrochemical properties of the proton /  $\gamma$ -MnO<sub>2</sub> system. *Progress in Solid State Chemistry*, 23(1), 1-130. [https://doi.org/https://doi.org/10.1016/0079-6786\(94\)00005-2](https://doi.org/https://doi.org/10.1016/0079-6786(94)00005-2)
- Clendenen, R., & Drickamer, H. (1966). Lattice parameters of nine oxides and sulfides as a function of pressure. *The Journal of Chemical Physics*, 44(11), 4223-4228.
- de, P. (1959). Interpretation of some [gamma]-MnO<sub>2</sub> diffraction patterns. *Acta Crystallographica*, 12(4), 341-345. <https://doi.org/doi:10.1107/S0365110X59001001>
- Gangwar, D., & Rath, C. (2021). Structural, optical and magnetic properties of  $\alpha$ - and  $\beta$ -MnO<sub>2</sub> nanorods. *Applied Surface Science*, 557. <https://doi.org/10.1016/j.apsusc.2021.149693>
- Haines, J., Leger, J., Gorelli, F., Klug, D., Tse, J., & Li, Z. (2001). X-ray diffraction and theoretical studies of the high-pressure structures and phase transitions in magnesium fluoride. *Physical Review B*, 64(13), 134110.
- Haines, J., Léger, J., & Hoyau, S. (1995). Second-order rutile-type to CaCl<sub>2</sub>-type phase transition in  $\beta$ -MnO<sub>2</sub> at high pressure. *Journal of Physics and Chemistry of Solids*, 56(7), 965-973.
- Hannemann, A., Hundt, R., Schön, J., & Jansen, M. (1998). A new algorithm for space-group determination. *Journal of applied crystallography*, 31(6), 922-928.
- Hundt, R., SchoEn, J. C., Hannemann, A., & Jansen, M. (1999). Determination of symmetries and idealized cell parameters for simulated structures. *Journal of applied crystallography*, 32(3), 413-416.

- Kingma, K. J., Cohen, R. E., Hemley, R. J., & Mao, H.-k. (1995). Transformation of stishovite to a denser phase at lower-mantle pressures. *Nature*, 374(6519), 243-245.
- Kozawa, A., & Yeager, J. (1965). The cathodic reduction mechanism of electrolytic manganese dioxide in alkaline electrolyte. *Journal of The Electrochemical Society*, 112(10), 959.
- Kürkçü, C., & Merdan, Z. (2018a). Güneş pilleri için ZnO'nun yapısal ve elektronik özelliklerinin incelenmesi: Ab-initio çalışması. *Balıkesir Üniversitesi Fen Bilimleri Enstitüsü Dergisi*, 1-12. <https://doi.org/10.25092/baunfbed.416460>
- Kürkçü, C., & Merdan, Z. (2018b). Hidrojen depolama malzemeleri için MgH<sub>2</sub>'nin yapısal ve elektronik özellikleri. *Gazi Üniversitesi Fen Bilimleri Dergisi Part C: Tasarım ve Teknoloji*, 451-461. <https://doi.org/10.29109/http-gujsc-gazi-edu-tr.371285>
- Kürkçü, C., Merdan, Z., & Öztürk, H. (2016a). Pressure-induced phase transitions and structural properties of CoF<sub>2</sub>: An ab-initio molecular dynamics study. *Solid State Communications*, 231, 17-25.
- Kürkçü, C., Merdan, Z., & Öztürk, H. (2016b). Theoretical calculations of high-pressure phases of NiF<sub>2</sub>: An ab initio constant-pressure study. *Russian Journal of Physical Chemistry A*, 90(13), 2550-2555.
- Kürkçü, C., Merdan, Z., & Yamçıcıer, Ç. (2019). Pressure-induced phase transitions, electronic, elastic and vibrational properties of zinc oxide under high pressure. *Indian Journal of Physics*, 93(8), 979-989. <https://doi.org/10.1007/s12648-018-01365-8>
- Liu, L.-G. (1976). Synthesis of a new high-pressure phase of manganese dioxide. *Earth and Planetary Science Letters*, 29(1), 104-106.
- Momma, K., & Izumi, F. (2011). VESTA 3 for three-dimensional visualization of crystal, volumetric and morphology data. *Journal of applied crystallography*, 44(6), 1272-1276.
- Monkhorst, H. J., & Pack, J. D. (1976). Special points for Brillouin-zone integrations. *Physical Review B*, 13(12), 5188.
- Perakis, A., Lampakis, D., Boulmetis, Y. C., & Raptis, C. (2005). High-pressure Raman study of the ferroelastic rutile-to-CaCl<sub>2</sub> phase transition in ZnF<sub>2</sub>. *Physical Review B*, 72(14), 144108.
- Perdew, J. P., Burke, K., & Ernzerhof, M. (1996). Generalized gradient approximation made simple. *Physical review letters*, 77(18), 3865.
- Ruettschi, P. (1984). Cation-Vacancy Model for MnO<sub>2</sub>. *Journal of The Electrochemical Society*, 131(12), 2737-2744. <https://doi.org/10.1149/1.2115399>
- Soler, J. M., Artacho, E., Gale, J. D., García, A., Junquera, J., Ordejón, P., & Sánchez-Portal, D. (2002). The SIESTA method for ab initio order-N materials simulation. *Journal of Physics: Condensed Matter*, 14(11), 2745.
- Troullier, N., & Martins, J. L. (1991). Efficient pseudopotentials for plane-wave calculations. *Physical Review B*, 43(3), 1993.
- Truesdell, C. (1952). FD Murnaghan, finite deformation of an elastic solid. *Bulletin of the American Mathematical Society*, 58(5), 577-579.
- Tull, M. (1996). A Bibliography of University Theses on Australian Maritime History. *International Journal of Maritime History*, 8(1), 199-246.
- Turner, S., & Buseck, P. R. (1983). Defects in nsutite ( $\gamma$ -MnO<sub>2</sub>) and dry-cell battery efficiency. *Nature*, 304(5922), 143-146.
- Walanda, D. K., Lawrence, G. A., & Donne, S. W. (2005). Hydrothermal MnO<sub>2</sub>: synthesis, structure, morphology and discharge performance. *Journal of Power Sources*, 139(1-2), 325-341. <https://doi.org/10.1016/j.jpowsour.2004.06.062>
- Yamcicer, C., Merdan, Z., & Kurkcu, C. (2018). Investigation of the structural and electronic properties of CdS under high pressure: an ab initio study. *Canadian Journal of Physics*, 96(2), 216-224. <https://doi.org/10.1139/cjp-2017-0257>